

OBJEDNÁVATEĽ



NÁRODNÁ DIAĽNIČNÁ SPOLOČNOSŤ

ZHOTOVITEĽ DOKUMENTÁCIE NA STAVEBNÉ POVOLENIE GEOCONSULT S.R.O. MILETIČOVA 21, P.O.BOX 34, 820 05 BRATISLAVA 25			
HL. INŽ. PROJ. Ing. Marek GOLÁB <i>Golab</i>	VED. ÚSEKU Ing. Peter ŽIAK <i>Žiak</i>	ČÍS.ZÁK. 1347/1214	

DOKUMENTÁCIA NA STAVEBNÉ POVOLENIE

244-00

ZÁKAZKA				 KOMPLEXNÉ ARCHITEKTONICKÉ A INŽINIERSKE SLUŽBY TRAMÍNOVÁ 14, 900 21 Svätý Jur	
DIAĽNIČNÝ PRIVÁDZAČ LIETAVSKÁ LÚČKA - ŽILINA					
ČASŤ STAVBY				244-00 PROTIHLUKOVÁ STENA - VĽAVO km 5,105-5,670	
PRÍLOHA				TECHNICKÁ SPRÁVA ČASŤ STATIKA	
OBJEDNÁVATEĽ				NÁRODNÁ DIAĽNIČNÁ SPOLOČNOSŤ, a.s.	
HLAVNÝ INŽ. PROJ. Ing. Marek GOLÁB		TECH. KONTROLA Ing. Peter HOLLÝ		SÚRADNICOVÝ SYSTÉM JTSK	
ZODP. PROJ. Ing. Peter GAVALA		VED. ÚSEKU		VÝŠKOVÝ SYSTÉM Bpv	
VYPRACOVAL Ing. Peter GAVALA		DÁTUM 05.2014		MIERKA -	
		FORMÁT -		OKRES ŽILINA	
				KATASTRÁLNE ÚZEMIE: BYTČICA	
				ČÍSLO PRÍLOHY 1	
				SÚPRAVA	

244 - PROTIHLUKOVÁ STENA

STATIKA

TECHNICKÁ SPRÁVA

Obsah:	1) Identifikačné údaje	str. 2
	2) Podklady	str. 3
	3) Popis konštrukcie	str. 3
	4) Zaťaženie na konštrukciu a geologický profil	str. 4
	5) Materiál nosnej konštrukcie	str. 5

Spolu:

5x A4

1. Identifikačné údaje

Stavba

Názov stavby : DIALNIČNÝ PRIVÁDZAČ LIETAVSKÁ LÚČKA - ŽILINA
Názov objektu : 244 - 00 PROTIHLUKOVÁ STENA - VĽAVO
km 5,105-5,670
Miesto stavby : ŽILINA
Katastrálne územie : BYTČICA
Druh stavby : Novostavba

Objednávateľ

Meno : Národná diaľničná spoločnosť, a.s.
Sídlo : Mlynské nivy 45, 821 09 Bratislava

Zhotoviteľ dokumentácie na stavebné povolenie

Meno : GEOCONSULT S.R.O., Miletičova 21, P.O.BOX 34,
820 05 BRATISLAVA 25
Hlavný inžinier projektu : Ing. Marek GOLÁB

Projektant objektu, časť: statika

Meno : Ing. Peter Gavaľa Projektová kancelária ISA
Sídlo : Kysucká 1,
811 04, Bratislava
Prevádzka : Pluhová 2,
831 03, Bratislava
Zodpovedný projektant : Ing. Peter Gavaľa
Stupeň projektovej dokumentácie : Dokumentácia na stavebné povolenie (DSP)

2. Podklady

Geometria steny (stavebné výkresy ... Ing. Hollý - H&W s.r.o.)

Situácia (Geoconsult s.r.o.)

Geologický prieskum GEOFOS, s.r.o., Veľký diel 3232, 010 08 Žilina16

- R.1997 D1 Hričovské Podhradie – Lietavská Lúčka. Privádzač Žilina -
- R.2006 Diaľničný privádzač Lietavská Lúčka - Žilina (doplnenie)

Použité normy:

STN EN 1990/NA Eurokód 1. Zásady navrhovania konštrukcií

STN EN 1991-1-1 Eurokód 1. Všeobecné zaťaženia konštrukcií (objemová
ťaž, vlastná ťaž a úžitkové zaťaženia).

STN EN 1991-1-4 Eurokód 1. Zaťaženia konštrukcií. Časť 1-4, Všeobecné
zaťaženia. Zaťaženie vetrom.

- STN EN 1992-1-1 Eurokód 2. Navrhovanie betónových konštrukcií. Časť 1-1:
Všeobecné pravidlá a pravidlá pre budovy
- STN EN 1993-1-1 Eurokód 3. Navrhovanie oceľových konštrukcií. Časť 1-1:
Všeobecné pravidlá a pravidlá pre budovy.
- STN EN 1997-1 Eurokód 7. Navrhovanie geotechnických konštrukcií. Časť
1-1: Všeobecné pravidlá.
- STN EN 1794-1 Zariadenia na zníženie hluku z cestnej dopravy. Neakustické
vlastnosti. Časť 1: Mechanické vlastnosti a požiadavky na stabilitu

3. Popis konštrukcie

Predmetom projektovej dokumentácie časť statika je návrh a posúdenie nosných prvkov líniového objektu: „**244 - PROTIHLUKOVÁ STENA - VĽAVO v km 5,105-5,670**“, ktorá je umiestnená na ľavej strane diaľničného privádzača Lietavská Lúčka - Žilina. Protihluková stena bude pôdorysne a výškovo vytýčená podľa situačného výkresu a je po celej dĺžke situovaná na teréne. Celková dĺžka steny je 552,6 m a je navrhnutá ako päť úsekov, predelených únikovými východmi skladobnej šírky 1,3 m. Niveleta protihlukovej steny sleduje geometriu komunikácie, ktorá je v miernom sklone s klesaním od kóty 387,561 po kótu 377,411 a následne stúpa po kótu 379,301 m.n.m. Celková výška steny na teréne vrátane betónovej podnože je od hlavy základovej konštrukcie skladobne navrhnutá v jednej výške 3,10 m, pričom postupne od spodnej hrany je tvorená 0,6 m vysokým železobetónovým základovým trámom a nad ním sú umiestnené zvukovo pohltivé, vysokoabsorbčné protihlukové kompletizované panely, v súlade na požiadavky protihlukovej štúdie a vlastnej konfigurácii terénu. Teda výšková skladba steny je v kroku $0,60+5 \times 0,50 = 3,10$ m a pôdorysná modulová skladba je prevažne v kroku 4.0m a lokálne 3.0 m a to na začiatku, konci a v mieste únikových východov. Podrobne je skladba znázornená v rozvinutom pohľade protihlukovej steny v časti projektovej dokumentácii architektúra. V trase steny v polohe medzi 111 a 114 stĺpikom sa nachádza podzemný podchod. V súčasnosti nie sú k dispozícii k nemu žiadne projektové podklady. Preto za predbežne predpokladá jeho premostenie mohutným monolitickým pásom o priereze 800x900 mm, v dĺžke 12.8 m. Pás bude na koncoch v modulovom rozpone $4 \times 3.0 = 12.0$ m podporený zosilnenými pilótami profilu $d=600$ mm o dĺžke 5.0m.

Primárnu nosnú konštrukciu steny tvoria oceľové stĺpiky prierezu HE160B, s ukončením oceľovou kotevnou platňou 550x550-35 mm s prichytením dodatočne lepenými kotvami k železobetónovej základovej konštrukcií. Predpokladá sa použitie napr. kotiev typu 6x HILTI HVA-E-F (5.8)-M24. Roznášacia platňa stĺpikov sa pred osadením podleje v hrúbke cca 10 mm nezmraštivou vysokopevnostnou maltou pevnosti min. 30MPa. Celková výrobná dĺžka stĺpikov je väčšia ako výška steny, z dôvodu čiastočného zapustenia do terénu o cca 0,1 až 0,15 m, resp. z titulu výškového posunu susedných poli, s ohľadom na sklon nivelety. Stĺpiky sú situované prevažne v kroku štyroch metrov, okrem lokálnych úsekov, kde je krok znížený na 3.0 m. Oceľové stĺpiky, úložné platne a aj kotevné skrutky budú proti korózií chránené pozinkovaním.

Medzi jednotlivé stĺpiky bude vložený prefabrikovaný základový trám, so šírkou prierezu 120 mm a skladobnou výškou 600 mm. Trám bude ukladán na tvrdené gumové podložky (ložiská). Prípadná nerovnaká výška hlavíc, z dôvodu sklonu terénu, bude eliminovaná podložením základových trámov betónovými kockami, alternatívne lokálnym podbetónovaním z betónu STN EN 206-1-C25/30-XC2 (SK)-

CI 0,4-Dmax16-S3. Dištancia medzi prírubami oceleového stĺpika bude vymedzená gumovými príložkami. Trámy budú z hladkého pohľadového betónu so skosenými hranami 10/10 mm a budú povrchovo upravené náterom odolávajúcim účinkom solenia priľahlej komunikácie. Následne budú medzi stĺpy HE160B vkladané systémové protihlukové kompletizované panely v kroku 500 mm. Vytvorená stena bude fixovaná na horizontálne silové účinky v drážke stĺpov svorkovým tesniacim profilom z lisovaného hliníka.

Základová konštrukcia pozostáva z monolitckej železobetónovej pilótovej hlavici o pôdorysných rozmeroch 800x800 mm a výške 700 mm. Nadväzujúca vŕtaná pilóta je profilu 400 mm, o dĺžke 2.5 m. Pilóta a hlavica bude dôkladne previazaná výstužou pre zabezpečenie prenosu ťahových síl z kotevných skrutiek.

4. Zaťaženie na konštrukciu a geologický profil

Z pohľadu statiky je stena navrhnutá na zaťaženie:

- Vlastná tiaž konštrukcie (súčiniteľ $\gamma = 1.35$)
- Zaťaženie vetrom (súčiniteľ $\gamma = 1.50$) je uvažované v zmysle normy STN EN 1991-1-4 nasledovne:

Fundamentálna hodnota základnej rýchlosti vetra $v_{b0} = 26 \text{ m/s}$

Referenčná výška $z_e = 5 \text{ m}$

Terén typu II.

Špičkový tlak vetra $q_{p(z)} = 0,8151 \text{ kPa}$

V zmysle STN EN 1991-1-4 čl. 7.4 je uvedené pre $l/h \geq 10$ pre jednotlivé zóny protihlukovej steny podľa obr. 7.19 v úsekoch od kraja steny:

- zóna A ... $c_{p,net} = 3.4$, kde je dĺžka zóny $0.3 h = 0.3 \times 4.0 = 1.2 \text{ m}$
- zóna B ... $c_{p,net} = 2.1$, kde je dĺžka zóny do $2h = 2 \times 4.0 = 8.0 \text{ m}$
- zóna C ... $c_{p,net} = 1.7$, kde je dĺžka zóny do $4h = 4 \times 4.0 = 16.0 \text{ m}$
- zóna D ... $c_{p,net} = 1.2$, kde je dĺžka zóny nad $4h = 4 \times 4.0 = 16.0 \text{ m}$

Podrobne je výpočet zaťaženia spracovaný v statickom výpočte

- Dynamické zaťaženie od odpratávania snehu uvažované v zmysle normy STN EN 1794 - 1 je hodnotou 15 kN na ploche $2,0 \times 2,0 \text{ m}$, t.j. 3.75 kN/m^2 (súčiniteľ $\gamma = 1.50$) so situovaním v strede panela. Zaťaženie je rozhodujúce pre návrh panelov, nie pre návrh stĺpikov a zakladania.
- Aerodynamické zaťaženie od dynamických účinkov vozidla v zmysle s normy STN EN 1794 -1, je rovné hodnote 0.8 kN/m^2 (súčiniteľ $\gamma = 1.50$), čo značí, že nie je rozhodujúce, nakoľko účinky vetra po celej dĺžke trasy sú väčšie

Všetky náhodilé zaťaženia sú uvažované samostatne, len v kombinácii s vlastnou tiažou konštrukcie. V zmysle uvedeného je rozhodujúcim zaťažením pre výpočet prierezu stĺpa a pilóty účinok vetra a to v úseku „C“ s ohľadom na výšku steny a rozdielnu vzdialenosť stĺpikov na okraji a v poli steny. Teda rozhodujúce zaťaženie na každý stĺpik je v zmysle statického výpočtu uvažované o hodnote $1.7 \times 0.8151 \times 4.0 = 5.543 \text{ kN/m}$.

Dimenzovanie protihlukových panelov na lokálne zaťaženie od dynamických účinkov odpratávania snehu, ktoré je rozhodujúcim silovým účinkom pre tento nosný prvok bude zrealizované po výbere dodávateľa predmetného panela. Statický výpočet oceľových stĺpikov a protihlukovej steny je spracovaný softvérom z edície SCIA a návrh pilótových základov je spracovaný softvérom z edície GEO (pilóta).

Pre výpočet pilót s ohľadom na mimoriadne široký záber územia a veľký rozptyl zemín boli zvolené v zmysle inžiniersko – geologického prieskumu od hora dole nasledujúce vrstvy zeminy: jemnozrnné zeminy triedy F3 až F6, avšak prevažne triedy F5, nižšie cca 2 až 3 m pod terénom bola lokálne overená nesúvislá vrstva pieskov jemno až strednozrnných, menej hrubozrnných, kyprých až stredne uľahlých a nakoniec v hĺbke cca 4 až 5 metrov sa nachádzajú v celom území štrky minimálne triedy G4, resp. lokálne je výskyt poloskalnej horniny triedy R4-R5. Zvolené parametre zemín zohľadňujú aj geológiu pre pilóty, ktoré sa budú nachádzať v násypoch. Pre predmetné spevnené násypy po konzultácii s geológom je možné uvažovať nasledovné geotechnické parametre: merná tiaž 19 kN/m³, uhol vnútorného trenia cca 26° a súdržnosť cca 5kPa.

5. Materiál nosnej konštrukcie

Oceľové stĺpiky

Konštrukčná oceľ: S 235 ...HE160B dl. 2600, spolu ks=143

Kotevná platňa P35-550x550, spolu ks=143

Kotevné skrutky 6x HILTI HVA-E-F (5.8)-M24, spolu ks=858

Základový nosník:

Betón: STN EN 206-1 - C30/37 - XF4, XC4, XD3 (SK) - Cl 0,4 - Dmax 16 - S4

Betonárska výstuž B500 B ...(R) 10 505

Počet KS= 140 o priechom priereze 600x120 mm

Stenové panely

Kompletizované vysokoabsorpčné protihlukové panely o skladobnej výške 500 mm

2 x v únikové dvere v skladobnej šírke 1,3 m

Pilótové základy:

Pilóty d=400 mm o dĺžke 2,5 m, počet KS=139

d=600 mm o dĺžke 5.0 m, počet KS=2 (pod premostením)

Betón: STN EN 206-1 - C25/30 - XC2 (SK) - Cl 0,4 - Dmax 16 - S4

Betonárska výstuž B500 B ...(R) 10 505

Hlavice o priereze 800x800/700 mm, počet KS=139

Betón: STN EN 206-1 - C30/37 - XF4, XC4, XD3 (SK) - Cl 0,4 - Dmax 16 - S4

Betonárska výstuž B500 B ...(R) 10 505

Premosťovací základový pás nad podchodom o priereze 800x900/12800 mm, počet KS=1

Betón: STN EN 206-1 - C30/37 - XF4, XC4, XD3 (SK) - Cl 0,4 - Dmax 16 - S4

Betonárska výstuž B500 B ...(R) 10 505

Bratislava, máj 2014

Ing. Peter Gavaľa
autorizovaný projektant statiky

STATICKÝ VYPOČET PROTIHLUKOVEJ STENY 244-00

Obsah:

č. 1. Zaťaženie od vetra	1x A4
č. 2. Návrh a posúdenie stĺpa HE160B	4x A4
č. 3. Návrh a posúdenie kotvenia	5x A4
č. 4. Návrh pilótového zakladania	5x A4

Spolu:	15x A4
--------	--------

244-00 PROTIHLUKOVÁ STENA NA DIAĽNIČNOM PRIVÁDZAČ I LIETAVSKÁ LÚČKA - ŽILINA

Oceľový stĺp HEB 160 výšky 3.1 m

Zaťaženie vetrom podľa EC: EN 1991-1-4 pre voľne stojace steny

5.2 Tlak vetra na povrchy:

Základná rýchlosť vetra (nár. prísl. obr. NB1): $v_b := 26 \text{ m} \cdot \text{s}^{-1}$

Špičkový tlak vetra pre kat. terénu II (tab. 4.1) a výš ku nad terénom
 $z=5\text{m}$: $q_p := 0.815 \text{ kPa}$

7.4.1 Voľne stojace steny a parapety

Dĺžka steny $L := 100 \text{ m}$ výška steny: $H := 3.1 \text{ m}$ $\frac{L}{H} = 32.258$

Tab. 7.9 Súčinitele tlaku

$c_{\text{netA}} := \begin{cases} 2.3 & \text{if } \frac{L}{H} \leq 3 \\ 2.9 & \text{if } 3 \leq \frac{L}{H} \leq 5 \\ 3.4 & \text{if } \frac{L}{H} \geq 10 \end{cases}$	$c_{\text{netA}} = 3.4$	$c_{\text{netB}} := \begin{cases} 1.4 & \text{if } \frac{L}{H} \leq 3 \\ 1.8 & \text{if } 3 \leq \frac{L}{H} \leq 5 \\ 2.1 & \text{if } \frac{L}{H} \geq 10 \end{cases}$	$c_{\text{netB}} = 2.1$
$c_{\text{netC}} := \begin{cases} 1.2 & \text{if } \frac{L}{H} \leq 3 \\ 1.4 & \text{if } 3 \leq \frac{L}{H} \leq 5 \\ 1.7 & \text{if } \frac{L}{H} \geq 10 \end{cases}$	$c_{\text{netC}} = 1.7$	$c_{\text{netD}} := \begin{cases} 1.2 & \text{if } \frac{L}{H} \leq 3 \\ 1.2 & \text{if } 3 \leq \frac{L}{H} \leq 5 \\ 1.2 & \text{if } \frac{L}{H} \geq 10 \end{cases}$	$c_{\text{netD}} = 1.2$

4.5 Špičkový tlak vetra :

$q_{nA} := c_{\text{netA}} \cdot q_p$	$q_{nA} = 2.771 \text{ kN} \cdot \text{m}^{-2}$	$\gamma_f := 1.5$	$q_{dA} := q_{nA} \cdot \gamma_f$	$q_{dA} = 4.157 \text{ kN} \cdot \text{m}^{-2}$
$q_{nB} := c_{\text{netB}} \cdot q_p$	$q_{nB} = 1.712 \text{ kN} \cdot \text{m}^{-2}$	$\gamma_{fB} := 1.5$	$q_{dB} := q_{nB} \cdot \gamma_f$	$q_{dB} = 2.568 \text{ kN} \cdot \text{m}^{-2}$
$q_{nC} := c_{\text{netC}} \cdot q_p$	$q_{nC} = 1.386 \text{ kN} \cdot \text{m}^{-2}$	$\gamma_{fC} := 1.5$	$q_{dC} := q_{nC} \cdot \gamma_f$	$q_{dC} = 2.079 \text{ kN} \cdot \text{m}^{-2}$
$q_{nD} := c_{\text{netD}} \cdot q_p$	$q_{nD} = 0.978 \text{ kN} \cdot \text{m}^{-2}$	$\gamma_{fD} := 1.5$	$q_{dD} := q_{nD} \cdot \gamma_f$	$q_{dD} = 1.467 \text{ kN} \cdot \text{m}^{-2}$

Výpis zadáných materiálov:

E1, E2	[kPa]	moduly pružnosti (E2 len pre ortotropný materiál)
ni		Poissonov súčiniteľ
gama	[t/m3]	objemová hmotnosť
K1, K2	[kN/m3]	koefficienty tepelnej rozťažnosti
útlm		dekrement útlumu

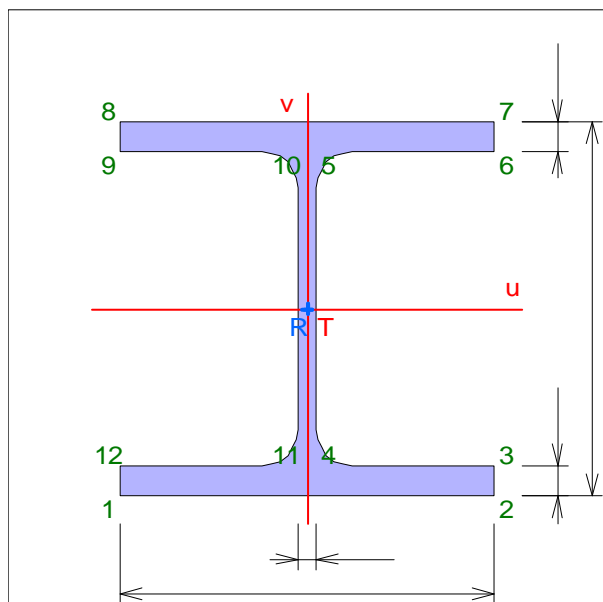
Materiál	Typ	E 1 [kPa]	ni	gama [t/m3]	K 1 [kN/m3]	E 2 [kPa]	K 2 [kN/m3]	útlm
S235	OCEL	2.100e+08	0.300	7.850	1.200e-05			0.010

Materiál	Objem [m3]	Hmotnosť [t]
S235	0.017	0.132
celkom		0.132

Výpis zadáných prierezov:

ly, lz	[m4]	hlavné momenty zotrvačnosti
lk	[m4]	moment tuhosti v prostom krútení
beta y, beta z		koefficienty šmykovej poddajnosti
P		plný prierez
S		zložený
D		dielčí
L_celk	[m]	celková dĺžka prierezu v konštrukcii
A_celk	[m2]	celková náterová plocha prierezu v konštrukcii

Prierez	Typ	Materiál	Plocha [m2]	ly [m4]	lz [m4]	lk [m4]	beta y	beta z	L_celk [m]	A_celk [m2]
HE 160 B	P	S235	5.425e-03	2.492e-05	8.892e-06	3.124e-07	0.720	0.244	3.100	2.926

HE 160 B**Výpis zať. stavov, kombinácií a obalových kriviek:****Výpis zaťažovacích stavov :**

Názov	Koeficient	Komentár	Typ zaťaženia	Skupina	Parametre	Výberový
LC01	1.350	vlastná tiaž	Perm - stálie	0	Perm	Nie
LC02	1.500	vietor 4.18kN/m'	Short - krátkodobé	0	Short	Nie

Výpis kombinácií zaťažovacích stavov :

Názov	ZS	Komentár	Koeficient
CO 01		Odolnosť / 1.35*LC01+1.50*LC02	
	LC01	vlastná tiaž	1.350
	LC02	vietor 4.18kN/m'	1.500
CO 02		Deformácie / 1.00*LC01+1.00*LC02	
	LC01	vlastná tiaž	1.000
	LC02	vietor 4.18kN/m'	1.000

Výsledky výpočtu - deformácie, všetky prúty, vybrané výsledky, celkové extrémny

Deformácie vypísané pre : vybrané výsledky
súradný systém posunov GSS
súradný systém rotácií HSS

Ux, Uy, Uz [m] posuny v osiach
Ucelk. [m] celkové posuny

Extrémy pre výsledok : 4 - CO 02 Kombinácie ZS (pre)

Deformácie

Prút	Poloha [m]	Ux [m]	Uy [m]	Uz [m]	Ucelk. [m]
Prut3	0.000	0	0	0	0
Prut3	0.000	0	0	0	0
Prut3	0.000	0	0	0	0
Prut3	3.100	0	0.012	-1.796e-06	0.012
Prut3	3.100	0	0.012	-1.796e-06	0.012
Prut3	0.000	0	0	0	0
Prut3	0.000	0	0	0	0
Prut3	3.100	0	0.012	-1.796e-06	0.012

Výsledky výpočtu - vnútorné sily, všetky prúty, vybrané výsledky, celkové extrémny

Vnútorné sily vypísané pre : vybrané výsledky
osi veličiny hlavné

Mx, My, Mz [kNm] ohybové momenty okolo osí
Nx, Qy, Qz [kN] normálové a šmykové sily v osiach
Sig.min, Sig.max [kPa] napätie v krajných vláknoch

Extrémy pre výsledok : 3 - CO 01 Kombinácie ZS (pre)

Odolnosť

Prút	Poloha [m]	My [kNm]	Nx [kN]	Qz [kN]	Sig.min [kPa]	Sig.max [kPa]
Prut3	0.000	-39.954	-1.782	25.776	-1.286e+05	1.279e+05
Prut3	3.100	0	0	0	0	0
Prut3	0.000	-39.954	-1.782	25.776	-1.286e+05	1.279e+05
Prut3	3.100	0	0	0	0	0
Prut3	3.100	0	0	0	0	0
Prut3	0.000	-39.954	-1.782	25.776	-1.286e+05	1.279e+05
Prut3	0.000	-39.954	-1.782	25.776	-1.286e+05	1.279e+05
Prut3	3.100	0	0	0	0	0
Prut3	3.100	0	0	0	0	0
Prut3	0.000	-39.954	-1.782	25.776	-1.286e+05	1.279e+05

POSÚDENIE OCEĽOVÉHO PRIEREZU PODĽA EN - EC3**Materiál:** S235**Prierez:** HE 160 B

Vnútorne sily:

N [kN]	M2 [kNm]	Q3 [kN]	M3 [kNm]	Q2 [kN]	Tt [kNm]	Tom [kNm]	B [kNm2]
-1.78	40.0	25.78	0.0	0.00	0.0	0.0	0.0

Parciálne součinitele spolehlivosti:

Výpočet je vykonaný podľa Českého národného aplikačného dokumentu.

Hodnoty parciálnych súčiniteľov pre oceľové konštrukcie:

Prierezy triedy 1,2,3: Gama_M0 = 1.150

Prierezy triedy 4: Gama_M1 = 1.150

Oslabené prierezy: Gama_M2 = 1.300

Zatriedenie prierezu:

$\epsilon = (235/f_y[\text{MPa}])^{0.5} = 1.000$

Zatriedenie stojiny:

$d = 0.104 \text{ m}$

$t_w = 0.008 \text{ m}$

$d/t_w = 13.000$; $13.000 < 33.000$; Trieda 1

Zatriedenie ľavej časti hornej pásnice:

$c = 0.080 \text{ m}$

$t_f = 0.013 \text{ m}$

$c/t_f = 6.154$; $6.154 < 10.000$; Trieda 1

Zatriedenie pravej časti hornej pásnice:

$c = 0.080 \text{ m}$

$t_f = 0.013 \text{ m}$

$c/t_f = 6.154$; $6.154 < 10.000$; Trieda 1

Zatriedenie ľavej časti dolnej pásnice:

$c = 0.080 \text{ m}$

$t_f = 0.013 \text{ m}$

$c/t_f = 6.154$; $6.154 < 10.000$; Trieda 1

Zatriedenie pravej časti dolnej pásnice:

$c = 0.080 \text{ m}$

$t_f = 0.013 \text{ m}$

$c/t_f = 6.154$; $6.154 < 10.000$; Trieda 1

Prierez spadá do triedy 1

Výpočet šmykovej únosnosti v smere osi z

Šmyková plocha $A_{vz} = 1.759\text{E-}03 \text{ m}^2$

Šmyková únosnosť prierezu $V_{plRdz} = 207.53 \text{ kN}$

Šmyková únosnosť pri vydúvaní:

$d/t_w = 13.000 < 69.000$

Vydúvanie stojiny prierezu nemusí byť posudzované

Šmyková únosnosť pri vydúvaní $V_{baRdz} = 207.53 \text{ kN}$

Výpočtová únosnosť v šmyku $V_{Rdz} = 207.53 \text{ kN}$

Výpočet šmykovej únosnosti v smere osi y

Šmyková plocha $A_{vy} = 3.666\text{E-}03 \text{ m}^2$

Šmyková únosnosť prierezu $V_{plRdy} = 432.52 \text{ kN}$

Výpočet vzpernej únosnosti

$Q_z + dQ_z \leq 0.5 \cdot 207.53 \text{ kN} \Rightarrow$ "malý šmyk" v smere osi z

$Q_y + dQ_y \leq 0.5 \cdot 432.52 \text{ kN} \Rightarrow$ "malý šmyk" v smere osi y

$\beta_{ta} = 1.000$

$\lambda_{a1} = 93.913$

Vybočenie kolmo k osi z:

Vzperná dĺžka $L_{cz} = 3.100 \text{ m}$

Štíhlosť $\lambda_{az} = 76.571$

Pomerná štíhlosť $\lambda_{PRz} = 0.815$

Krivka vzpernej pevnosti: c, súčiniteľ imperfekcie $\alpha = 0.490$

$\chi_z = 0.983$

Súčiniteľ vzpernosti $\chi_z = 0.653$

Výpočtová vzperná únosnosť $N_{bRdz} = 723.38 \text{ kN}$

Vybočenie kolmo k osi y:

Vzperná dĺžka $L_{cy} = 3.100 \text{ m}$

Štíhlosť $\lambda_{ay} = 45.739$

Pomerná štíhlosť $\lambda_{PRy} = 0.487$

Krivka vzpernej pevnosti: b, súčiniteľ imperfekcie $\alpha = 0.340$
 $F_{iy} = 0.667$
 Súčiniteľ vzpernosti $\chi_{iy} = 0.890$
 Výpočtová vzperná únosnosť $N_{bRdy} = 986.55 \text{ kN}$
 $723.38 < 986.55$ Výpočtová vzperná únosnosť $N_{bRd} = 723.38 \text{ kN}$

Výpočet únosnosti v ohybe od momentu M_y

$Q_z + dQ_z \leq 0.5 \cdot 207.53 \text{ kN} \Rightarrow$ "malý šmyk" v smere osi z
 $Q_y + dQ_y \leq 0.5 \cdot 432.52 \text{ kN} \Rightarrow$ "malý šmyk" v smere osi y
 Plastický prierezový modul $W_{ply} = 3.540 \text{E-04 m}^3$
 Moment únosnosti prierezu $M_{cRdy} = 72.3 \text{ kNm}$
 Výpočtový moment únosnosti $M_{cRdy} = 72.3 \text{ kNm}$
 Výpočet vplyvu klopenia:
 Vzďialenosť bodov zaistených proti klopeniu $L_{z1} = 3.100 \text{ m}$
 Poloha zaťaženia na priereze $z_P = 0.000 \text{ m}$
 Súčinitelia vzpernej dĺžky: $k = 1.000$; $k_w = 1.000$
 Súčinitelia zaťaženia a uloženia koncov:
 $C_1 = 1.285$; $C_2 = 1.562$; $C_3 = 0.753$
 $z_g = -0.080 \text{ m}$
 $z_j = 0.000 \text{ m}$
 Pružný kritický moment $M_{cr} = 763.7 \text{ kNm}$
 Geometrický štíhlostný pomer $\lambda_{LT} = 30.996$
 $\lambda_{b1} = 93.913$
 $\beta_{aw} = 1.000$
 Pomerná štíhlosť $\lambda_{LTpR} = 0.330$
 $0.330 < 0.4$; vplyv klopenia neuvažujeme
 Moment únosnosti s vplyvom klopenia $M_{bRdy} = 72.3 \text{ kNm}$

Výpočet únosnosti v ohybu od momentu M_z

$Q_z + dQ_z \leq 0.5 \cdot 207.53 \text{ kN} \Rightarrow$ "malý šmyk" v smere osi z
 $Q_y + dQ_y \leq 0.5 \cdot 432.52 \text{ kN} \Rightarrow$ "malý šmyk" v smere osi y
 Plastický prierezový modul $W_{plz} = 1.700 \text{E-04 m}^3$
 Moment únosnosti prierezu $M_{cRdz} = 34.7 \text{ kNm}$
 Výpočtový moment únosnosti $M_{cRdz} = 34.7 \text{ kNm}$

Posúdenie šmykovej únosnosti

Veličina	Zaťaženie	Únosnosť	Využitie	
$Q_z + dQ_z$	25.78 kN	207.53 kN	12.4 %	Vyhovuje
$Q_y + dQ_y$	0.00 kN	432.52 kN	0.0 %	Vyhovuje

Posúdenie kombinácie osovej sily a ohybových momentov

Posudok najnepriaznivejšej kombinácie vzperného tlaku a ohybu:

$\beta_{aMy} = 1.300$
 $M_{iy} = -0.545$
 $k_y = 1.001$
 $|0.002 + 0.553 + 0.000| < 1$
 $0.555 < 1 \Rightarrow$ Vyhovuje

Posudok najnepriaznivejšej kombinácie vzperného tlaku a ohybu s klopením:

$\beta_{aMLT} = 1.300$
 $M_{iLT} = 0.000$
 $k_{LT} = 1.000$
 $M_{iz} = 0.000$
 $k_z = 0.000$
 $|0.002 + 0.552 + 0.000| < 1$
 $0.555 < 1 \Rightarrow$ Vyhovuje

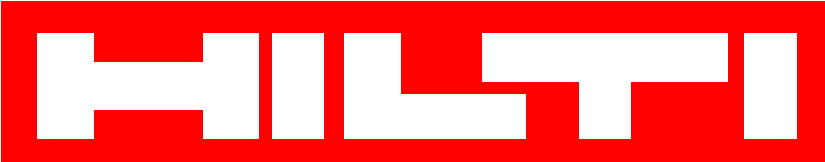
Posúdenie štíhlosti

Vypočítaná štíhlosť prúta: 76.571
 Bezpečná štíhlosť tlačných prutů je 180
Štíhlosť je bezpečná
Využitie prierezu: 55.5 %

=====

PRIEREZ VYHOVUJE

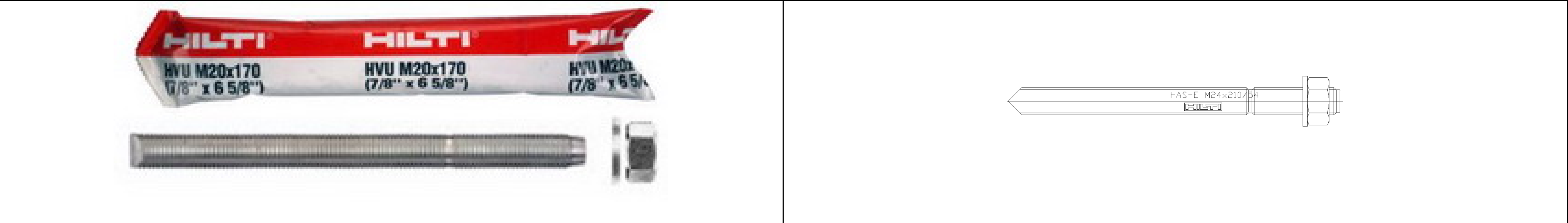
=====

<div>  </div> <div> Aplikácia PROFIS Anchor 1.11.20 http://www.hilti.sk/ </div>	Firma: PK ISA Vypracoval: Ing. Peter Gavaľa Adresa: Pluhová 2, Bratislava Tel./Fax: 02/20700090 / - E-Mail: gavala@pkisa.sk	Strana 1 z 5 Zákazník: Lietavská Lúčka -Žilina Projekt:: PHS 244- kotvenie do žb hlavice Kontakná osoba: Ing. Peter Gavaľa Dátum: Bratislava / 27. 5. 2014

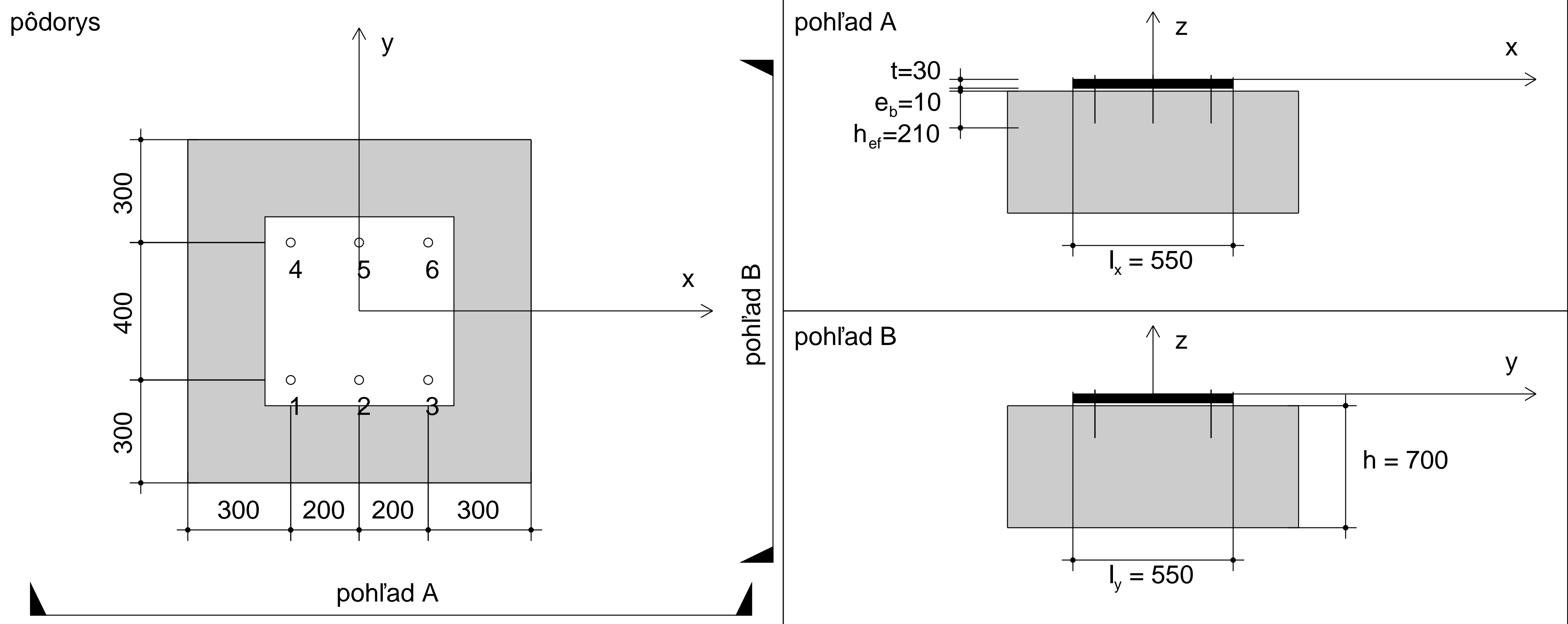
Poznámky:

Typ a rozmer kotvy:	HVA-E-F (5.8)-M24
efektívna hĺbka kotvenia:	h_{ef} = 210 mm
Materiál:	5.8
Certifikát č.:	
Platnosť:	- / -
Posúdenie:	Návrh podľa SOFA - po ETAG skúške
Dištančná montáž:	bez Upevnenie na povrchu ; nie podliatie (kotevná platňa); e_b = 10 mm ; t = 30 mm
Kotevná platňa:	S235 (ST37) ; $I_x \times I_y \times t$ = 550 x 550 x 30 mm
Základný materiál:	netrhlinový Betón C20/25, f_{cc} = 25.00 N/mm ₂ ; h = 700 mm
Výstuž:	vzdialenosť výstuže \geq 150 mm bez okrajovej pozdĺžnej výstuže

Kotva



Geometria [mm]

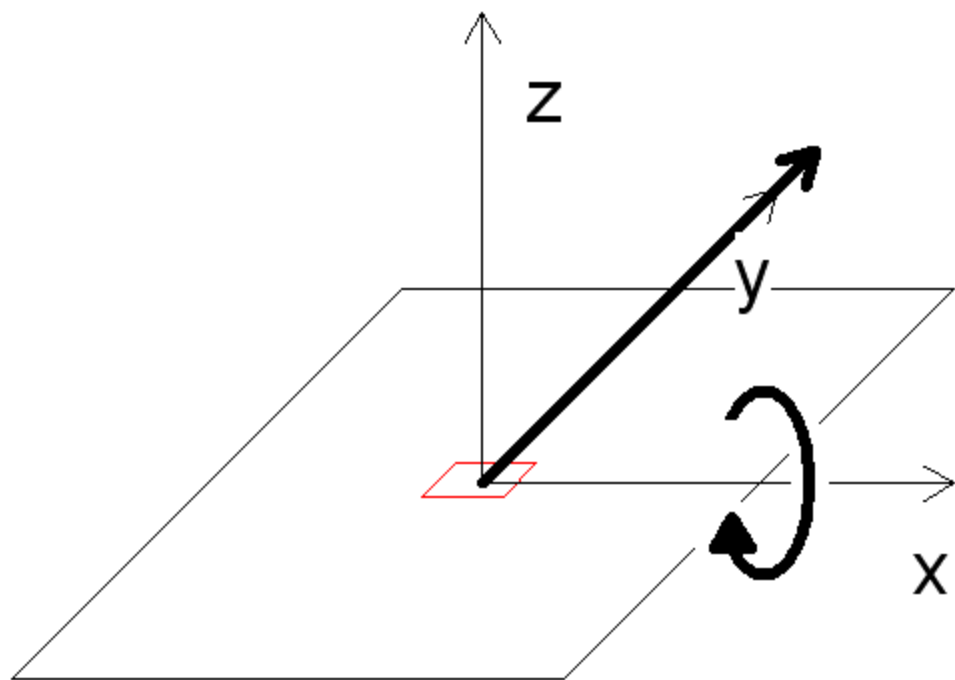


Zaťaženia

Výsledné zaťaženie [kN, kNm]

$N = 0.00$
 $M_z = 0.00$

$V_y = 17.20$
 $M_y = 0.00$

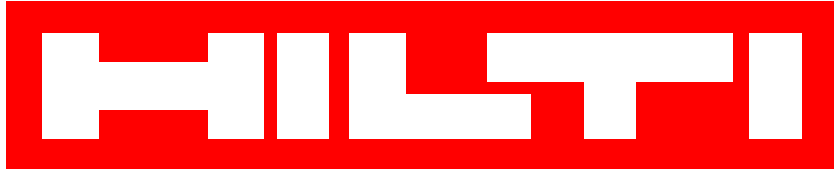


$V_x = 0.00$
 $M_x = 26.60$

Charakteristické [kN, kNm]

	stále	náhodilé	výsledné
N	0.00	0.00	0.00
V_x	0.00	0.00	0.00
V_y	0.00	17.20	17.20
M_x	0.00	26.60	26.60
M_y	0.00	0.00	0.00
M_z	0.00	0.00	0.00

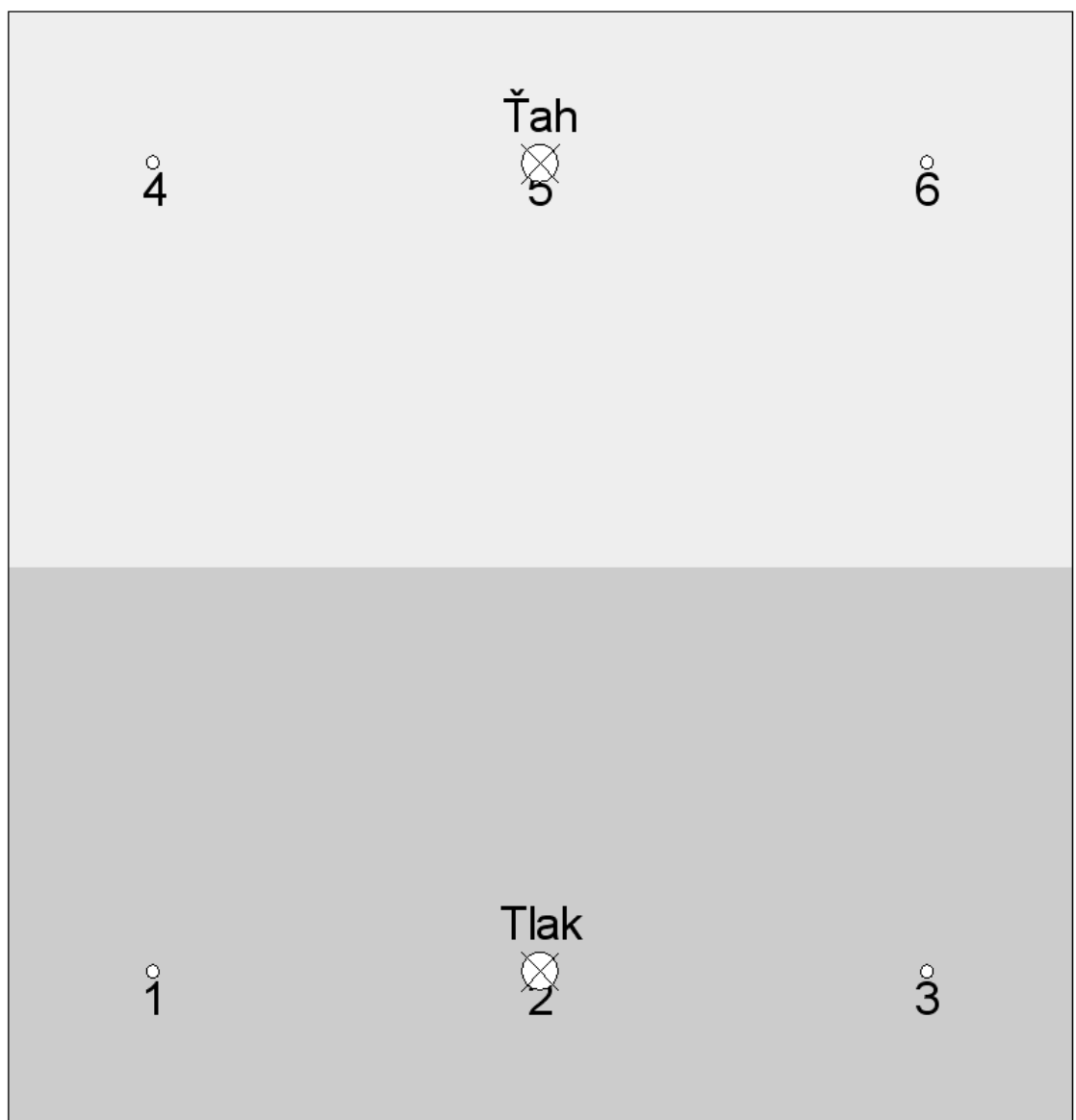
Excentricita [mm]
 $e_x = 0$; $e_y = 0$

 Aplikácia PROFIS Anchor 1.11.20 http://www.hilti.sk/	Firma: PK ISA	Strana 2 z 5
	Vypracoval: Ing. Peter Gavaľa	Zákazník: Lietavská Lúčka -Žilina
	Adresa: Pluhová 2, Bratislava	Projekt:: PHS 244- kotvenie do žb hlavice
	Tel./Fax: 02/20700090 / -	Kontakná osoba: Ing. Peter Gavaľa
	E-Mail: gavala@pkisa.sk	Dátum: Bratislava / 27. 5. 2014

Zat'azovací stav 1 (1.35-Stále zat'azenie + 1.50-Náhodilé zat'azenie)

Kotva - reakcie [kN]
Normálová sila: (+ Ťah, - Tlak)

Kotva	Normálová sila	šmyková sila
1	-33.25	4.30
2	-33.25	4.30
3	-33.25	4.30
4	33.25	4.30
5	33.25	4.30
6	33.25	4.30



Max. pevnosť betónu v tlaku [%o]: 0.00
Max. pevnosť betónu v tlaku [N/mm₂]: 0.00
výsledná ťahová sila [kN]: 99.75
výsledná tlaková sila [kN]: 99.75

Zat'azenie ťahom (ETAG, príloha C, bod 5.2.2.)

	Návrhové hodnoty [kN]			
Posúdenie	Zat'azenie	Únosnosť	Využitie β _N [%]	Stav
Únosnosť ocele	33.25	108.10	31	OK
Vytiahnutie	33.25	90.60	37	OK
Betonový kužel	99.75	166.36	60	OK
Rozlomenie	99.75	233.86	43	OK

Únosnosť ocele

N _{Rk,s} [kN]	γ _{M,s}	N ^h _{Rd,s} [kN]	N ^h _{Sd} [kN]
162.15	1.500	108.10	33.25

Vytiahnutie

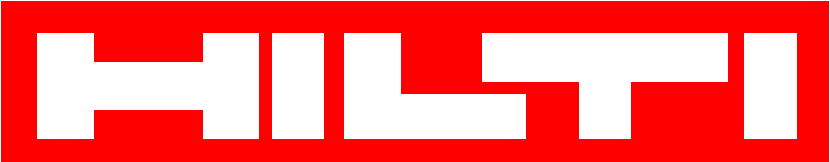
N _{Rk,p} [kN]	ψ _c	γ _{M,p}	N ^h _{Rd,p} [kN]	N ^h _{Sd} [kN]
163.08	1.000	1.800	90.60	33.25

Betonový kužel

A _{c,N} [mm ²]	A ⁰ _{c,N} [mm ²]	c _{cr,N} [mm]	s _{cr,N} [mm]
344400.0	176400.0	210	420

ψ _{ec1,N}	ψ _{ec2,N}	ψ _{re,N}	ψ _{s,N}	ψ _{ucr,N}
1.000	1.000	1.000	1.000	1.400

N ⁰ _{Rk,c} [kN]	γ _{M,c}	N _{Rd,c} [kN]	N _{Sd} [kN]
109.56	1.800	166.36	99.75

 Aplikácia PROFIS Anchor 1.11.20 http://www.hilti.sk/	Firma: PK ISA	Strana 3 z 5
	Vypracoval: Ing. Peter Gavaľa	Zákazník: Lietavská Lúčka -Žilina
	Adresa: Pluhová 2, Bratislava	Projekt:: PHS 244- kotvenie do žb hlavice
	Tel./Fax: 02/20700090 / -	Kontakná osoba: Ing. Peter Gavaľa
	E-Mail: gavala@pkisa.sk	Dátum: Bratislava / 27. 5. 2014

Rozlomenie					
$A_{c,N}$ [mm ²]	$A_{c,N}^0$ [mm ²]	$c_{cr,sp}$ [mm]	$s_{cr,sp}$ [mm]		
344400.0	176400.0	210	420		
$\psi_{s,N}$	$\psi_{ec1,N}$	$\psi_{ec2,N}$	$\psi_{re,N}$	$\psi_{ucr,N}$	$\psi_{h,sp}$
1.000	1.000	1.000	1.000	1.400	1.406
$N_{Rk,c}^0$ [kN]	$\gamma_{M,sp}$	$N_{Rd,sp}$ [kN]	N_{Sd} [kN]		
109.56	1.800	233.86	99.75		

Zaťaženie šmykom (ETAG, príloha C, bod 5.2.3.)

	Návrhové hodnoty [kN]			
Posúdenie	Zaťaženie	Únosnosť	Využitie β_v [%]	Stav
Únosnosť ocele (bez dištančnej montáže)	4.30	77.80	6	OK
Únosnosť ocele (dištančná montáž)	4.30	7.39	58	OK
Vylomenie betónu	4.30	108.27	4	OK
Zlyhanie okraja betónu v smere y+	25.80	94.72	27	OK

Únosnosť ocele (bez dištančnej montáže)

$V_{Rk,s}$ [kN]	$\gamma_{M,s}$	$V_{Rd,s}^h$ [kN]	V_{Sd}^h [kN]
97.25	1.250	77.80	4.30

Únosnosť ocele (dištančná montáž)

I [mm]	α_M
37	1.00

$N_{Sd} / N_{Rd,s}$	$1 - N_{Sd} / N_{Rd,s}$	$M_{Rk,s}^0$ [kNm]	$M_{Rk,s} = M_{Rk,s}^0 (1 - N_{Sd} / N_{Rd,s})$ [kNm]
0.308	0.692	0.49	0.34

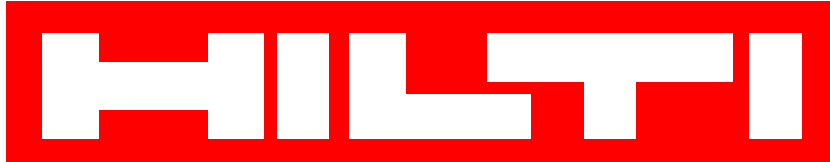
$V_{Rk,s}^M = \alpha_M * M_{Rk,s} / I$ [kN]	$\gamma_{M,s,b}$	$V_{Rd,s}^M$ [kN]	V_{Sd}^h [kN]
9.24	1.250	7.39	4.30

Vylomenie betónu

$A_{c,N}$ [mm ²]	$A_{c,N}^0$ [mm ²]	$c_{cr,N}$ [mm]	$s_{cr,N}$ [mm]	k-factor
672400.0	176400.0	210	420	2.000

$\psi_{ec1,N}$	$\psi_{ec2,N}$	$\psi_{s,N}$	$\psi_{re,N}$	$\psi_{ucr,N}$
1.000	1.000	1.000	1.000	1.400

$N_{Rk,c}^0$ [kN]	$\gamma_{M,c,p}$	$V_{Rd,c1}^h$ [kN]	V_{Sd}^h [kN]
109.56	1.800	108.27	4.30

 Aplikácia PROFIS Anchor 1.11.20 http://www.hilti.sk/	Firma: PK ISA	Strana 4 z 5
	Vypracoval: Ing. Peter Gavaľa	Zákazník: Lietavská Lúčka -Žilina
	Adresa: Pluhová 2, Bratislava	Projekt:: PHS 244- kotvenie do žb hlavice
	Tel./Fax: 02/20700090 / -	Kontakná osoba: Ing. Peter Gavaľa
	E-Mail: gavala@pkisa.sk	Dátum: Bratislava / 27. 5. 2014

Zlyhanie okraja betónu v smere y+				
l_f [mm]	d_{nom} [mm]	c_1 [mm]	$A_{c,V}$ [mm ²]	$A_{c,V}^0$ [mm ²]
210	24	467	700000.0	980000.0
$\psi_{s,V}$	$\psi_{h,V}$	$\psi_{\alpha,V}$	$\psi_{ec,V}$	$\psi_{ucr,V}$
0.829	1.000	1.000	1.000	1.400
$V_{Rk,c}^0$ [kN]	$\gamma_{M,c}$	$V_{Rd,c}$ [kN]	V_{Sd} [kN]	
171.48	1.500	94.72	25.80	

Kombinované zaťaženie (ETAG, príloha C, bod 5.2.4.)

β_N	β_V	α	Využitie $\beta_{N,V}$ [%]	Stav
0.600	0.581	1.5	91	OK

$\beta_N^\alpha + \beta_V^\alpha \leq 1$
 $(\beta_N + \beta_V) / 1.2 \leq 1$

Okrajová výstuž

Pre zabránenie rozlomenia betónového prvku nie je potrebná okrajová výstuž .
Okrajová výstuž nie je potrebná z hľadiska zlyhania okraja betónu

Posun

Premiestnenie najviac zaťaženej kotvy by malo byť počítané podľa relevantného osvedčenia. Premiestnenie vzniknuté toleranciami v otvoroch sa môže zanedbať, pretože táto metóda predpokladá vyplnené otvory (Hilti Dynamický Set). Charakteristické zaťaženia najviac zaťaženej kotvy sú

$N_{Sk}^h = 22.17$ [kN]
 $V_{Sk}^h = 5.73$ [kN]

Prípustné premiestnenia kotiev závisia na upevnenej konštrukcii a musia byť definované projektantom!

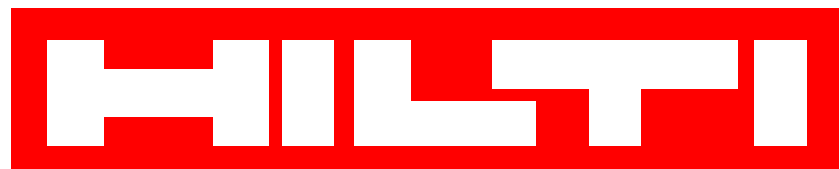
Posúdenie prenosu zaťaženia z kotvy do podpery.

Posúdenie prenosu zaťaženia z kotvy do betónu.
Kontrola prenosu zaťaženia na základný materiál musí byť v súlade s podmienkami ETAG, bod 7.1!
Šmyková únosnosť základného materiálu
Šmyková únosnosť základného materiálu musí byť overená podľa príslušného certifikátu alebo Eurokódu 2!

Upozornenia

Pri použití HILTI dynamického setu sa šmykové zaťaženie distribuuje do kotiev rovnomerne.
Za kompatibilitu so súčasnými normami (napr. EC) zodpovedá užívateľ
Predpokladá sa suchý a štandardne vyčistený otvor! Vplyv teploty sa zanedbáva!
Pozor! V prípade tlakového zaťaženia kotvy môže byť potrebná kontrola vzpernej únosnosti.

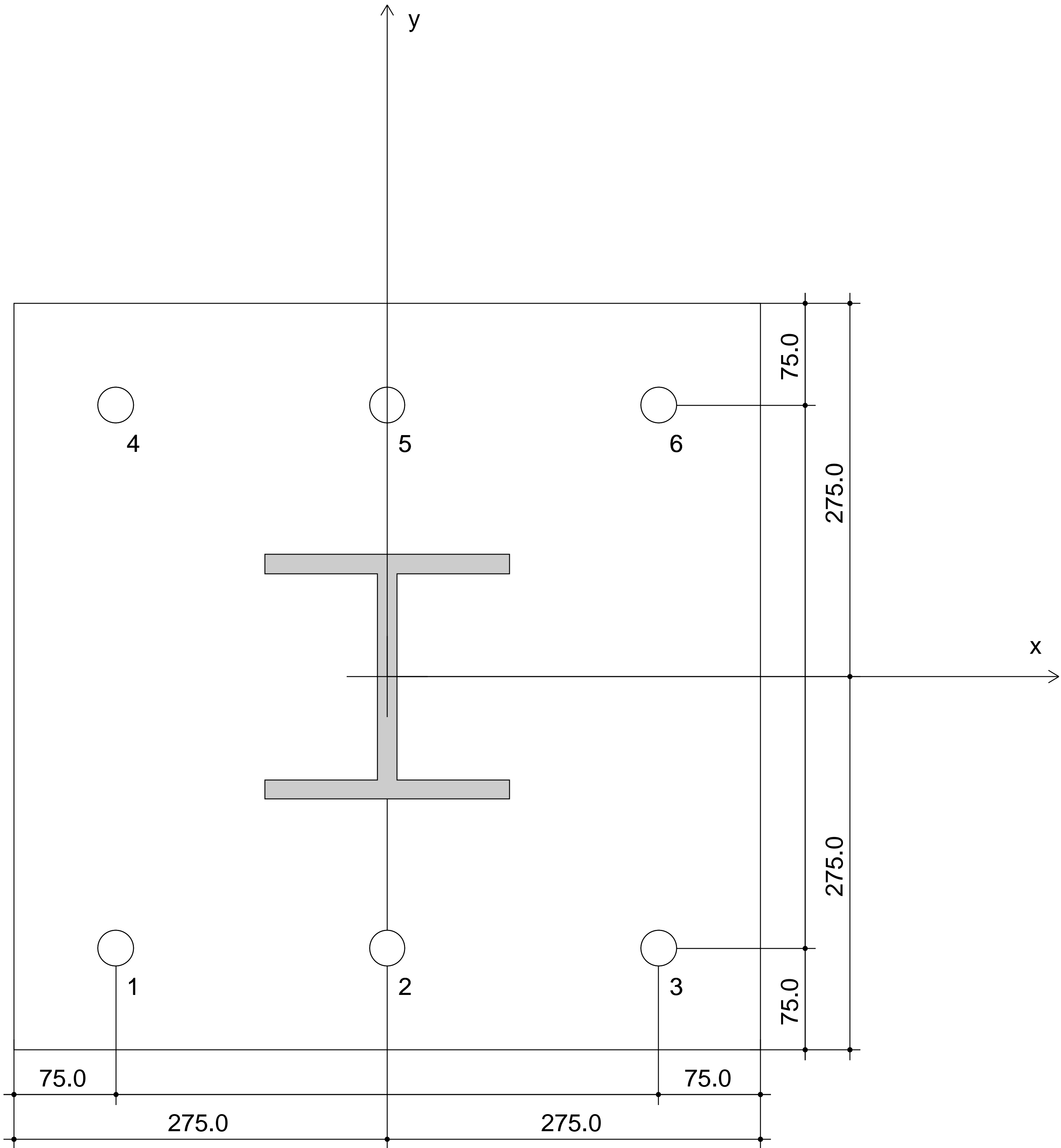
Upevnenie VYHOVUJE zvolenej výpočtovej metóde!



Firma: PK ISA	Strana 5 z 5
Vypracoval: Ing. Peter Gavaľa	Zákazník: Lietavská Lúčka -Žilina
Adresa: Pluhová 2, Bratislava	Projekt:: PHS 244- kotvenie do žb hlavice
Tel./Fax: 02/20700090 / -	Kontakná osoba: Ing. Peter Gavaľa
E-Mail: gavala@pkisa.sk	Dátum: Bratislava / 27. 5. 2014

Oceľová kotevná platňa: S235 (ST37)

Typ profilu: IPB - IPB 180 / HE 180 B (180 x 180 x 14)
Priemer otvoru $d_f = 26$ mm
Doporučená hrúbka kotevnej platne: 38 mm



Súradnice kotvy [mm]

Kotva	x	y	Kotva	x	y
1	-200	-200	4	-200	200
2	0	-200	5	0	200
3	200	-200	6	200	200

Súradnice kotevnej platne [mm]

x	y	x	y
-275	275	275	-275
275	275	-275	-275

Vložené údaje skontrolujte, či zodpovedajú skutočným podmienkam a zámeru, pre ktoré ich chcete použiť!

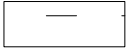

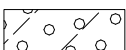
Posouzení piloty

Vstupní data


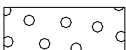
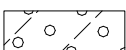
Projekt

Akce : Diaľničný privádzač Lietavská Lúčka - Žilina
Část : 244-00 PROTIHLUKOVÁ STENA
Autor : Ing. Peter Gavaľa
Datum : 27. 5. 2014

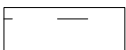
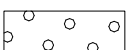
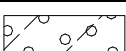
Základní parametry zemín

Číslo	Název	Vzorek	φ_{ef} [°]	c_{ef} [kPa]	γ [kN/m ³]	γ_{su} [kN/m ³]
1	F4 - íl piesčitý		24.00	15.00	18.50	8.50
2	G3 - štrk s prímесou jemnozrnej zeminy		36.00	0.00	19.00	9.00
3	S3 - piesok s prímесou jemnozrnej zeminy		31.00	0.00	17.50	7.50

Pro výpočet tlaku v klidu jsou všechny zeminy zadány jako nesoudržné.

Číslo	Název	Vzorek	E_{oed} [MPa]	E_{def} [MPa]	γ_{sat} [kN/m ³]	γ_s [kN/m ³]	n [-]
1	F4 - íl piesčitý		-	5.00	18.50	-	-
2	G3 - štrk s prímесou jemnozrnej zeminy		-	95.00	19.00	-	-
3	S3 - piesok s prímесou jemnozrnej zeminy		-	21.00	17.50	-	-

Parametry zemín pro výpočet modulu reakce podloží

Číslo	Název	Vzorek	β
1	F4 - íl piesčitý		0.62
2	G3 - štrk s prímесou jemnozrnej zeminy		0.74
3	S3 - piesok s prímесou jemnozrnej zeminy		0.74

Parametry zemín

F4 - íl piesčitý

Objemová tíha : $\gamma = 18,50$ kN/m³
Úhel vnitřního tření : $\varphi_{ef} = 24,00^\circ$
Soudržnost zeminy : $c_{ef} = 15,00$ kPa
Poissonovo číslo : $\nu = 0,35$
Modul přetvárnosti : $E_{def} = 5,00$ MPa
Obj.tíha sat.zeminy : $\gamma_{sat} = 18,50$ kN/m³
Úhel roznášení : $\beta = 0,62^\circ$

G3 - štrk s prímесou jemnozrnej zeminy

Objemová tíha : $\gamma = 19,00$ kN/m³

Úhel vnútorného trení : $\varphi_{ef} = 36,00^\circ$
Soudržnosť zeminy : $c_{ef} = 0,00 \text{ kPa}$
Poissonovo číslo : $\nu = 0,25$
Modul pretvárnosti : $E_{def} = 95,00 \text{ MPa}$
Obj.tíha sat.zeminy : $\gamma_{sat} = 19,00 \text{ kN/m}^3$
Úhel roznášení : $\beta = 0,74^\circ$

S3 -piesok s prímiesou jemnozrnnej zeminy

Objemová tíha : $\gamma = 17,50 \text{ kN/m}^3$
Úhel vnútorného trení : $\varphi_{ef} = 31,00^\circ$
Soudržnosť zeminy : $c_{ef} = 0,00 \text{ kPa}$
Poissonovo číslo : $\nu = 0,30$
Modul pretvárnosti : $E_{def} = 21,00 \text{ MPa}$
Obj.tíha sat.zeminy : $\gamma_{sat} = 17,50 \text{ kN/m}^3$
Úhel roznášení : $\beta = 0,74^\circ$

Geometrie konstrukce

Geometrie piloty

Profil piloty: kruhová proměnná

Rozměry

Průměr $d_1 = 0.80 \text{ m}$
Průměr $d_2 = 0.40 \text{ m}$
Délka $l_1 = 0.90 \text{ m}$
Délka $l_2 = 2.50 \text{ m}$

Umístění

Vysazení $h = 0.00 \text{ m}$
Hloubka upraveného terénu $h_z = 0.10 \text{ m}$

Redukce odporu na patě = 0.80

Redukce odporu na plášti = 0.60

Modul reakce podloží uvažován jako konstantní.

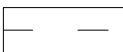

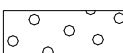
Materiál konstrukce

Výpočet betonových konstrukcí proveden podle normy EN 1992 1-1 (EC2).

Beton : C 25/30

Ocel podélná : B500

Geologický profil a přiřazení zemin

Číslo	Vrstva [m]	Přiřazená zemina	Vzorek
1	2.00	F4 - íl piesčitý	
2	1.50	S3 -piesok s prímiesou jemnozrnnej zeminy	
3	-	G3 - štrk s prímiesou jemnozrnnej zeminy	

Zatížení

Číslo	Zatížení		Název	Typ	N [kN]	M _x [kNm]	M _y [kNm]	H _x [kN]	H _y [kN]
	nové	změna							
1	ANO		Návrhové zaťaženie	Výpočtové	25.00	39.90	0.00	0.00	25.80

Hladina podzemní vody
 Hladina podzemní vody je v hloubce 3.00 m od původního terénu.

Nastavení výpočtu
 Výpočet proveden podle teorie mezních stavů s redukcí vstupních parametrů zemin.

Součinitel redukce úhlu vnitřního tření	$\gamma_{m\phi} = 1.10$
Součinitel redukce soudržnosti	$\gamma_{mc} = 1.40$

Posouzení čís. 1

Posouzení svislé únosnosti piloty podle teorie MS - mezivýsledky

Výpočet únosnosti v patě:

Součinitel únosnosti	$N_c = 21.80$
Součinitel únosnosti	$N_d = 11.50$
Součinitel únosnosti	$N_b = 7.58$
Součinitel únosnosti	$K_1 = 1.05$
Výpočtová únosnost na patě piloty	$R_d = 942.02 \text{ kPa}$
Plocha příčného řezu piloty	$A_s = 1.558E-01 \text{ m}^2$

Únosnost na plášti piloty:
 Zkrácení účinné délky piloty $L_p \text{ [m]} = 0.64 \text{ m}$

Hloubka [m]	Mocnost [m]	ϕ_d [°]	cd [kPa]	γ [kN/m ³]	$\gamma R2$ [-]	fs [kPa]	Ufdi [kN]
0.90	0.90	17.14	7.50	18.50	1.30	8.34	18.86
1.00	0.10	17.14	7.50	18.50	1.30	11.19	1.41
1.90	0.90	17.14	7.50	18.50	1.20	14.52	16.43
2.00	0.10	22.14	0.00	17.50	1.20	14.66	1.84
2.76	0.76	22.14	0.00	17.50	1.10	17.71	16.81

Posouzení svislé únosnosti piloty podle teorie MS - výsledky

Výpočet proveden s automatickým výběrem nejnepříznivějších zatěžovacích stavů.
 Součinitel vlivu technologie $GamaR1 = 1.00$

Únosnost piloty na plášti	$U_{fd} = 55.35 \text{ kN}$
Únosnost piloty v patě	$U_{bd} = 154.10 \text{ kN}$
Únosnost piloty	$U_{vd} = 209.45 \text{ kN}$
Extrémní svislá síla	$V_d = 25.00 \text{ kN}$

$U_{vd} = 209.45 \text{ kN} > 25.00 \text{ kN} = V_d$

Svislá únosnost plovoucí piloty VYHOVUJE

Posouzení čís. 1

Vstupní data pro výpočet vodorovné únosnosti piloty

Výpočet proveden s automatickým výběrem nejnepříznivějších zatěžovacích stavů.

Vodorovná únosnosť posouzena ve směru maximálního účinku zatížení.

Průběhy vnitřních sil a deformace piloty

Průběh deformací a vnitřních sil po pilotě:

Vzdál. [m]	Modul k [MN/m ³]	Deformace [mm]	Pootoč. [mRad]	Napětí [kPa]	Pos.síla [kN]	Moment [kNm]
0.00	9.18	-6.69	3.33	61.42	-25.80	39.90
0.18	1.84	-6.10	3.32	55.93	-17.35	43.77
0.18	1.84	-6.10	3.32	55.93	-17.35	43.77
0.36	3.67	-5.50	3.30	50.46	-9.69	46.19
0.36	3.67	-5.50	3.30	50.46	-9.69	46.19
0.54	5.51	-4.91	3.29	45.02	-2.82	47.31
0.54	5.51	-4.91	3.29	45.02	-2.82	47.31
0.72	7.34	-4.32	3.28	39.60	3.28	47.25
0.72	7.34	-4.32	3.28	39.60	3.28	47.25
0.90	9.18	-3.73	3.26	35.62	8.59	46.17
0.90	9.18	-3.73	3.26	35.62	8.59	46.17
1.07	10.71	-3.20	3.06	34.25	10.88	44.55
1.07	10.71	-3.20	3.06	34.25	10.88	44.55
1.23	12.24	-2.70	2.88	33.09	13.14	42.54
1.23	12.24	-2.70	2.88	33.09	13.14	42.54
1.40	13.76	-2.24	2.70	30.84	15.28	40.17
1.40	13.76	-2.24	2.70	30.84	15.28	40.17
1.57	15.29	-1.81	2.53	27.62	17.24	37.45
1.57	15.29	-1.81	2.53	27.62	17.24	37.45
1.73	16.82	-1.40	2.37	23.52	18.95	34.43
1.73	16.82	-1.40	2.37	23.52	18.95	34.43
1.90	18.35	-1.02	2.23	47.89	20.36	31.15
1.90	76.77	-1.02	2.23	47.89	20.36	31.15
2.07	76.77	-0.65	2.10	50.26	24.62	27.37
2.07	76.77	-0.65	2.10	50.26	24.62	27.37
2.23	76.77	-0.31	1.99	24.12	27.10	23.04
2.23	76.77	-0.31	1.99	24.12	27.10	23.04
2.40	76.77	0.01	1.90	-0.75	27.87	18.44
2.40	76.77	0.01	1.90	-0.75	27.87	18.44
2.57	76.77	0.32	1.83	-24.58	27.02	13.84
2.57	76.77	0.32	1.83	-24.58	27.02	13.84
2.73	76.77	0.62	1.78	-47.65	24.61	9.52
2.73	76.77	0.62	1.78	-47.65	24.61	9.52
2.90	76.77	0.91	1.75	-70.18	20.68	5.72
2.90	76.77	0.91	1.75	-70.18	20.68	5.72
3.07	76.77	1.20	1.73	-92.39	15.26	2.71
3.07	76.77	1.20	1.73	-92.39	15.26	2.71
3.23	76.77	1.49	1.72	-114.44	8.36	0.72
3.23	76.77	1.49	1.72	-114.44	8.36	0.72
3.40	76.77	1.78	1.72	-136.45	-0.00	0.00

Maximální vnitřní síly a deformace:

Deformace hlavy piloty = -6.7 mm

Max.deformace piloty = 6.7 mm

Max.posouvající síla = 27.87 kN

Maximálny moment = 47.31 kNm

Dimenzace výztuže:

Vyztužení - 8 ks profil 12.0 mm; krytí 50.0 mm

Stupeň vyztužení $\rho = 0.360 \% > 0.133 \% = \rho_{\min}$

Zatížení : $N_{Ed} = -25.00$ kN (tlak) ; $M_{Ed} = 47.31$ kNm

Únosnost : $N_{Rd} = -28.75$ kN; $M_{Rd} = 54.41$ kNm

Navržená výztuž piloty VYHOVUJE